

脂蛋白相关磷脂酶 A2 与大动脉粥样硬化型脑梗死患者早期神经功能恶化的相关性

桂千 冯红选 王媚瑕 徐勤荣 程庆璋 沈明强

[摘要] 目的 探讨脂蛋白相关磷脂酶 A2 (LP - PLA2) 与大动脉粥样硬化 (LAA) 型脑梗死患者早期神经功能恶化 (END) 的关系。方法 选取 2017 年 10 月至 2019 年 6 月于苏州市立医院本部神经内科住院且确诊为 LAA 型脑梗死的患者, 共 161 例, 发病至入院时间均≤48 h。所有患者住院当天行美国国立卫生研究院卒中量表 (NIHSS) 评分, 入院 72 小时内每天行 NIHSS 评分。根据患者是否发生 END 将患者分为 END 组和非 END 组, 比较两组患者临床资料的差异, 将单因素分析有意义的指标纳入多因素 logistic 回归分析, 分析 LAA 型脑梗死患者发生 END 的独立危险因素, 多因素分析有意义的指标以发生 END 为金标准, 应用受试者工作特征 (ROC) 曲线分析其对 LAA 型脑梗死患者发生 END 的预测价值。结果 与非 END 组 ($n=106$) 相比, END 组 ($n=55$) 患者糖尿病比例、低密度脂蛋白胆固醇、LP - PLA2、C 反应蛋白 (CRP)、糖化血红蛋白 A1c (HbA1c)、同型半胱氨酸水平均升高, 差异均有统计学意义 ($P < 0.05$)。多因素 logistic 回归分析结果显示, LP - PLA2 (95% CI: 1.008 ~ 1.026, $P < 0.001$)、CRP (95% CI: 1.110 ~ 1.577, $P = 0.002$)、HbA1c (95% CI: 1.150 ~ 3.274, $P = 0.013$) 是 LAA 型脑梗死患者发生 END 的危险因素。ROC 曲线分析显示, LP - PLA2 预测 LAA 型脑梗死患者发生 END 的曲线下面积 (AUC) 为 0.703, 敏感度为 90.9%, 特异度为 58.5%; CRP 的 AUC 为 0.669, 敏感度为 70.9%, 特异度为 61.3%; HbA1c 的 AUC 为 0.638, 敏感度为 81.8%, 特异度为 54.7%。结论 LP - PLA2 是 LAA 型脑梗死患者发生 END 的危险因素, 且对其有较高的预测价值。

[关键词] 脂蛋白相关磷脂酶 A2; 大动脉粥样硬化型脑梗死; 早期神经功能恶化

doi: 10.3969/j.issn.1000-0399.2022.07.019

脑梗死是一种致残性和致死性疾病, 主要影响中老年人群, 动脉粥样硬化是其主要发病因素。目前研究^[1]表明, 动脉粥样硬化是一种炎症性疾病, 炎症反应在加速动脉粥样硬化进展过程中起着关键的作用。

脂蛋白相关磷脂酶 A2 (lipoprotein-related phospholipase A2, LP - PLA2) 是磷脂酶超家族中的一种新型炎症因子, 由成熟的巨噬细胞及淋巴细胞合成并分泌, 可水解低密度脂蛋白胆固醇 (low density lipoprotein cholesterol, LDL-C) 上的氧化卵磷脂, 随后将其转化为溶血卵磷脂以及氧化游离脂肪酸^[2-3], 后两者可导致血管内皮细胞损伤、大量单核细胞浸润, 形成泡沫细胞, 从而加重动脉粥样硬化的发生^[2-3]。Liang 等^[4]研究报道, 大动脉粥样硬化 (large-artery atherosclerosis, LAA) 型脑梗死患者 LP - PLA2 水平较小动脉闭塞型高, LP - PLA2 与伴有大动脉狭窄的脑梗死

患者相关性更强。临幊上, 部分 LAA 型脑梗死患者虽经积极治疗, 发病数天内神经功能缺失症状仍呈进行性加重, 尤其是运动功能恶化, 这种现象被称为早期神经功能恶化 (early neurological deterioration, END)。关于 LP - PLA2 与 LAA 型脑梗死患者发生 END 的关系, 目前罕见相关研究。因此, 本研究旨在探索, LP - PLA2 与 LAA 型脑梗死患者发生 END 的关系, 从而为干预其早期病情进展提供循证医学依据。

1 资料与方法

1.1 一般资料 选取 2017 年 10 月至 2019 年 6 月在苏州市立医院本部神经内科住院治疗的 161 例 LAA 型脑梗死患者。其中男性 94 例, 女性 67 例, 年龄 38 ~ 93 岁, 平均 (67.86 ± 11.83) 岁, 51 例有吸烟史, 28 例有饮酒史。所有患者在入院当天使用美国国立卫生研究院

作者单位: 215002 江苏苏州 苏州市立医院本部(南京医科大学附属苏州医院)神经内科

[16] 薛蕴菁, 殷青, 孙斌, 等. 能谱 CT 在鉴别甲状腺良恶性结节中的临床应用 [J]. 中国医学影像技术, 2013, 29(1): 30-33.

[17] 许定华, 窦益腾, 朱新进, 等. 能谱 CT 增强扫描对甲状腺

结节良恶性诊断的价值 [J]. 临床放射学杂志, 2019, 38(10): 1825-1828.

(2021-07-20 收稿)

(本文编校: 胡欣, 刘菲)

卒中量表(National Institute of Health Stroke Scale, NIHSS)进行评分,并在入院后72小时内每天进行评估。与基线评分相比,将END定义为住院后72小时内NIHSS评分总分增加≥2分或运动功能评分增加≥1分^[5]。每位患者的NIHSS评分均由神经内科主治及以上职称医师进行评估,根据是否发生END分成END组($n=55$ 例)和非END组($n=106$ 例)。纳入标准:①发病至入院时间≤48 h;②年龄≥18岁;③经头颅MRI或CT检查证实,均符合急性脑梗死的诊断标准^[6];④病因学(trial of org 10 172 in acute stroke treat-

ment, TOAST)分型均为LAA型。排除标准:①既往有脑梗死病史,伴明显后遗症,改良的Rankin量表(modified Rankin scale, mRS)评分≥2分;②脑梗死伴出血患者;③接受溶栓或机械取栓的患者;④入院时伴有感染或入院后72小时内出现发热的患者;⑤严重肾功能衰竭患者;⑥伴冠心病及自身免疫性疾病的患者。两组患者年龄、性别、吸烟史、饮酒史比较,差异均无统计学意义($P > 0.05$),具有可比性,见表1。本研究经本院伦理委员会审查批准,批文号L2018005。

表1 两组患者一般资料比较

组别	例数	性别(例)		年龄(岁)	吸烟[例(%)]	饮酒[例(%)]
		男性	女性			
END组	55	33	22	67.18±10.73	22(40.0)	13(23.6)
非END组	106	61	45	68.22±12.40	29(27.4)	15(14.2)
t/χ^2 值		0.090		-0.525	2.674	2.268
P值		0.765		0.600	0.102	0.132

1.2 方法

1.2.1 病史收集 入院后收集患者基本资料,包括年龄、性别、吸烟史、饮酒史、糖尿病史与高血压病史(危险因素的定义参照Liang等^[4]的研究)、卒中史、入院时的收缩压与舒张压、发病至入院时间、入院时的NIHSS评分、梗死部位(前循环/后循环)及入院后有无使用抗血小板药、抗凝药、他汀类、降压药。

1.2.2 血液学指标检测 所有患者于入院第2天清晨用促凝管抽取空腹静脉血2 mL,4℃下放置30 min后,3 500 r/min离心5 min,收集血清上清液,放置于-20℃冰箱保存,采用酶联免疫法统一检测LP-PLA2水平,具体操作流程按试剂盒说明书进行,检测试剂由天津康尔克生物科技有限公司供应。其余指标包括LDL-C、高密度脂蛋白胆固醇(high density lipoprotein cholesterol, HDL-C)、三酰甘油(triglyceride, TG)、纤维蛋白原(fibrinogen, Fib)、C反应蛋白(C-reactive protein, CRP)、糖化血红蛋白(glycosylated hemoglobin, HbA1c)、尿酸(uric acid, UA)、同型半胱氨酸(homocysteine, Hey)水平,按常规方法检测。

1.2.3 影像学检查 所有患者入院后完善头颅MRI和颈动脉彩超检查。头颅MRI序列包括T₁、T₂、弥散加权成像、血管成像,颈动脉彩超由超声科经验丰富的医师完成。必要时对不能完成头颅MRI检查的患者进行CT血管成像或脑血管造影检查。TOAST分型^[7]是根据临床症状和上述影像学检查结果综合确定的,

依据分型结果,选取LAA型脑梗死患者。

1.3 观察指标 采用NIHSS评估患者入院时、24小时、48小时、72小时的神经功能,主要包括意识状况、眼球凝视、面瘫、肢体运动功能、语言功能等内容,评分越高表示神经功能缺损程度越重。

1.4 统计学方法 采用SPSS 22.0统计软件进行分析。计数资料以频数和百分比表示,两组比较采用 χ^2 检验;符合正态分布的计量资料采用 $\bar{x} \pm s$ 表示,组间比较采用独立样本t检验,不符合正态分布的采用M(P_{25}, P_{75})表示,组间比较采用Mann-Whitney U检验;采用多因素logistic回归分析确定END的危险因素;以LAA型脑梗死患者发生END为金标准,对多因素分析有意义的指标,采用受试者工作特征(receiver operating characteristic, ROC)曲线确定其曲线下面积(area under curve, AUC),且评价效能。以 $P < 0.05$ 为差异有统计学意义。

2 结果

2.1 两组患者基础资料、血液学指标比较 共161例LAA型脑梗死患者符合入选标准,END组55例,非END组106例,END总发生率为34%。与非END组相比,END组患者的糖尿病比例、血LDL-C水平、LP-PLA2水平、CRP水平、HbA1c水平及Hey水平均较高。两组之间,发病至入院时间、入院时NIHSS评分、梗死部位、既往史(高血压病和脑梗死史)、入院时血

压水平、其他实验室检查(HDL-C、TG、Fib、UA)、入院后72小时内治疗(抗血小板药、抗凝药、他汀类药、降压药)差异均无统计学意义($P > 0.05$)。见表2。

2.2 LAA型脑梗死患者发生END的多因素回归分析

将单因素分析中 $P < 0.1$ 的变量作为自变量,赋值如下:有糖尿病=1,无糖尿病=0;LDL-C、LP-PLA2、

CRP、HbA1c、Hcy均为连续变量,以原始数据录入。以是否发生END为因变量,发生END=1,未发生END=0。引入二分类变量多因素logistic回归模型,结果显示,LP-PLA2、CRP和HbA1c是LAA型脑梗死患者发生END的独立危险因素,而糖尿病比例、血LDL-C及Hcy水平与END无相关性($P > 0.05$)。见表3。

表2 两组患者基础资料及血液学指标比较

项目	END(n=55)	非END(n=106)	t/Z/ χ^2 值	P值
发病至入院时间(h)	15.0(8.0,28.0)	21.3(6.5,25.6)	-0.367	0.713
入院时NIHSS(分)	3(2,6)	3(1,5)	-1.316	0.188
梗死部位[例(%)]			1.206	0.272
前循环	40(72.7)	68(64.2)		
后循环	15(27.3)	38(35.8)		
高血压病[例(%)]	46(83.6)	86(81.1)	0.154	0.695
糖尿病[例(%)]	26(47.3)	35(33.0)	3.126	0.077
脑梗死史[例(%)]	8(14.5)	21(19.8)	0.680	0.410
抗血小板药[例(%)]	52(94.5)	99(93.4)	0.082	0.774
抗凝药[例(%)]	43(78.2)	79(74.5)	0.263	0.608
他汀类药[例(%)]	52(94.5)	100(94.3)	0.003	0.957
降压药[例(%)]	4(7.3)	9(8.5)	0.072	0.788
收缩压(mmHg)	161.49±20.33	157.21±24.65	1.107	0.270
舒张压(mmHg)	86.58±13.74	84.31±15.84	0.901	0.369
LDL-C(mmol/L)	3.53±1.02	3.25±0.90	1.809	0.072
HDL-C(mmol/L)	1.17±0.28	1.18±0.29	-0.223	0.824
TG(mmol/L)	1.81±0.63	1.64±0.71	1.523	0.130
纤维蛋白原(g/L)	2.78±0.57	2.67±0.59	1.112	0.268
LP-PLA2(ng/mL)	180.53±40.68	146.88±46.33	4.551	<0.001
CRP(mg/L)	4.91±2.60	3.42±1.90	4.140	<0.001
HbA1c(%)	6.23±0.99	5.74±1.30	2.455	0.015
尿酸(μmol/L)	303.7(260.1,381.9)	314.4(265.8,384.4)	-0.371	0.711
Hcy(μmol/L)	14.1(11.9,16.9)	15.7(13.0,19.7)	-1.863	0.063

注:NIHSS为美国国立卫生研究院卒中量表,LDL-C为低密度脂蛋白胆固醇,HDL-C为高密度脂蛋白胆固醇,TG为三酰甘油,LP-PLA2为脂蛋白相关磷脂酶A2,CRP为C反应蛋白,HbA1c为糖化血红蛋白A1c,Hcy为同型半胱氨酸。

表3 LAA型脑梗死患者发生END影响因素的多因素logistic回归分析

变量	回归系数	标准误	Wald χ^2 值	P值	OR值	95% CI
糖尿病	-0.713	0.645	1.221	0.269	0.490	0.138~1.736
LDL-C	0.179	0.207	0.748	0.387	1.196	0.797~1.794
LP-PLA2	0.017	0.005	12.849	<0.001	1.017	1.008~1.026
CRP	0.280	0.090	9.762	0.002	1.323	1.110~1.577
HbA1c	-0.663	0.267	6.173	0.013	1.941	1.150~3.274
Hcy	-0.064	0.035	3.394	0.065	0.938	0.877~1.004
常量	-7.795	1.947	16.029	<0.001	0.000	

2.3 LP-PLA2、CRP、HbA1c对LAA型脑梗死患者发生END的ROC预测分析 以LAA型脑梗死患者发生END为金标准,得出LP-PLA2、CRP、HbA1c取最佳截断值时诊断的灵敏度与特异度,制作各因素预测

END的ROC曲线,结果显示,LP-PLA2、CRP、HbA1c预测END发生的AUC分别为0.703($P < 0.001$)、0.669($P < 0.001$)、0.638($P = 0.004$)。见表4、图1。

表4 LP-PLA2、CRP、HbA1c预测LAA型脑梗死患者发生END的ROC曲线结果

项目	AUC	最佳截点	灵敏度	特异度	P值	95% CI
LP-PLA2	0.703	154.0 ng/mL	90.9%	58.5%	<0.001	0.620~0.786
CRP	0.669	3.8 mg/L	70.9%	61.3%	<0.001	0.579~0.759
HbA1c	0.638	5.6%	81.8%	54.7%	0.004	0.552~0.723

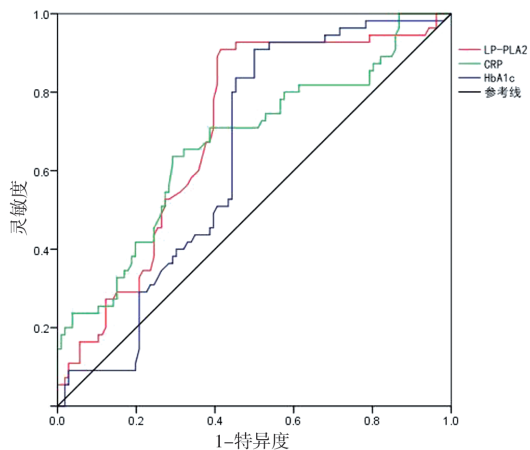


图1 LP-PLA2、CRP、HbA1c预测LAA型脑梗死患者发生END的ROC曲线

3 讨论

脑梗死是临床常见的缺血性脑血管病,其中TOAST分型为LAA型脑梗死的患者发病率较高,发生END亦较常见。目前认为,炎症反应是独立于高血压病、糖尿病等传统危险因素以外的引起脑动脉硬化加剧的重要因素^[1]。本研究选取了LAA型脑梗死患者,探讨LP-PLA2等因素与其发生END的关系。脑梗死患者END的发生率为15%~30%^[8~9],本研究为34%,较上述比例稍高,推测原因是本研究均为LAA型脑梗死患者,颅内大动脉狭窄可导致远端灌注不足,易导致脑梗死及病情加重。脑梗死患者发生END的影响因素尚不明确,可能与血管狭窄程度、梗死部位、入院时NIHSS评分、血糖水平、维生素D、纤维蛋白原及炎症因子水平等有关^[8~10]。本研究纳入对象均为LAA型脑梗死患者,故未再对狭窄程度、梗死部位进行详细分类,但发现END组与非END组前、后循环梗死的比例差异无统计学意义,与Kim等^[11]的研究结果一致。本研究结果显示,LP-PLA2、CRP和HbA1c是LAA型脑梗死患者发生END的危险因素,而其他因素与END无关。造成上述结论不一的原因,推测可能与入选标准、样本量大小、人种等因素有关。本研究入选标准相对较严,均为发病48小时内就诊,也排除了伴感染及溶栓取栓治疗可能影响预后的患者。有研

究^[12]表明,发生END会导致患者预后不佳,故研究END的影响因素对脑梗死的治疗具有重要意义。

Kara等^[13]研究发现,脑梗死患者LP-PLA2和CRP水平明显升高,且随着入院时神经功能缺损程度的加重而升高,LP-PLA2的活动和大动脉粥样硬化的发病机制相关。本研究发现,LP-PLA2与LAA型脑梗死患者发生END独立相关,且对END有较高的预测价值。Wang等^[14]也发现,LP-PLA2与LAA型脑梗死患者的END相关,但在该研究中,入院后10 d内发生神经功能恶化的均定义为END。Yang等^[15]研究指出,LP-PLA2与氧化应激、血管内膜损伤以及斑块破裂、脱落有关。Chen等^[16]研究也发现,LP-PLA2是动脉粥样硬化斑块进展的关键酶。不稳定斑块破裂、出血易形成血栓,斑块脱落则易形成动脉-动脉栓塞。在LAA型脑梗死患者中,大动脉斑块引起责任血管狭窄加重或斑块破裂、脱落可能进一步减少缺血区的血液供应,从而引起神经功能恶化。本研究得出的LP-PLA2可预测LAA型脑梗死患者发生END的结论可能与上述理论有关。

本研究同样发现,CRP也为LAA型脑梗死发生END的独立危险因素。Kara等^[13]发现,CRP水平与LAA型脑梗死的关联性更强,在斑块的不稳定活动中起着重要作用。故推测CRP与LP-PLA2可能有类似的炎症机制引起LAA型脑梗死患者发生END。本研究还发现,HbA1c水平是独立于炎症因子水平之外的预测LAA型脑梗死患者发生END的危险因素。宋文英等^[17]研究发现,HbA1c水平升高是脑卒中后发生酸中毒、脑水肿、早期神经功能恶化的独立危险因素与本研究的结论相符。

本研究存在以下局限性。首先,这是单中心研究、样本量也偏小,未对LP-PLA2水平进行分层研究,有待以后扩大样本量进行多中心、分层研究。第二,本研究结果只适用于LAA型脑梗死患者,其他TOAST分型患者有待进一步明确。

参考文献

- [1] CHUNG J W, OH M J, CHO Y H, et al. Distinct roles of en-

- dothelial dysfunction and inflammation in intracranial atherosclerotic stroke [J]. Eur Neurol, 2017, 77(3-4):211-219.
- [2] KOCAK S, ERTEKIN B, GIRISGIN A S, et al. Lipoprotein - associated phospholipase - A2 activity and its diagnostic potential in patients with acute coronary syndrome and acute ischemic stroke [J]. Turk J Emerg Med, 2017, 17(2):56-60.
- [3] LI D Z, WEI W, RAN X, et al. Lipoprotein - associated phospholipase A2 and risks of coronary heart disease and ischemic stroke in the general population: A systematic review and meta - analysis [J]. Clin Chim Acta, 2017, 471:38-45.
- [4] LIANG T, WANG S C, ZHANG D T, et al. Evaluation of lipoprotein - associated phospholipase A2, serum amyloid A, and fibrinogen as diagnostic biomarkers for patients with acute cerebral infarction [J]. J Clin Lab Anal, 2020, 34(3):e23084.
- [5] SIEGLER J E, MARTIN - SCHILD S. Early Neurological Deterioration (END) after stroke; the END depends on the definition [J]. Int J Stroke, 2011, 6(3):211-212.
- [6] 中华医学会神经病学分会,中华医学会神经病学分会脑血管病学组.中国急性缺血性脑卒中诊治指南2014[J].中华神经科杂志,2015,48(4):246-257.
- [7] ADAMS H P, BENDIXEN B H, KAPPELLE L J, et al. Classification of subtype of acute ischemic stroke: Definitions for use in a multicenter clinical trial [J]. Stroke, 1993, 24(1):35-41.
- [8] 田园,王南南.血清25羟维生素D₃水平与急性脑梗死早期神经功能恶化的相关性分析[J].脑与神经疾病杂志,2020,28(9):562-566.
- [9] LEE S J, HONG J M, LEE S E, et al. Association of fibrinogen level with early neurological deterioration among acute ischemic stroke patients with diabetes [J]. BMC Neurol, 2017, 17(1):101-107.
- [10] HUI J J, ZHANG J P, MAO X Q, et al. The initial glycemic variability is associated with early neurological deterioration in diabetic patients with acute ischemic stroke [J]. Neurol Sci, 2018, 39(9):1571-1577.
- [11] KIM J T, KIM H J, YOO S H, et al. MRI Findings may predict early neurologic deterioration in acute minor stroke or transient ischemic attack due to intracranial atherosclerosis [J]. Eur Neurol, 2010, 64(2):95-100.
- [12] TSCHIRRET O, MORENO L G, MANSUY A, et al. Impact of brain atrophy on early neurologic deterioration and outcome in severe ischemic stroke treated by intravenous thrombolysis [J]. Eur Neurol, 2018, 79(5/6):240-246.
- [13] KARA H, AKINCI M, DEGIRMENCI S, et al. High - sensitivity C - reactive protein, lipoprotein - related phospholipase A2 and acute ischemic stroke [J]. Neuropsychiatr Dis Treat, 2014, 10:1451-1457.
- [14] WANY Y, HU S Y, REN L J, et al. Lp - PLA2 as a risk factor of early neurological deterioration in acute ischemic stroke with TOAST type of large arterial atherosclerosis [J]. Neurol Res, 2019, 41(1):1-8.
- [15] YANG Y P, XUE T, ZHU J H, et al. Serum lipoprotein - associated phospholipase A2 predicts the formation of carotid artery plaque and its vulnerability in anterior circulation cerebral infarction [J]. Clin Neurol Neurosurg, 2017, 160:40-45.
- [16] CHEN C C, ZHU J, DENG X, et al. Severe periodontitis is associated with the serum levels of hypersensitive C reactive protein and lipoprotein - associated phospholipase A2 in the patients of acute ischemic stroke [J]. J Clin Neurosci, 2021, 88(2021):232-236.
- [17] 宋文英,赵静,唐浩,等.急性脑梗死合并2型糖尿病患者血清Caveolin-1的水平变化及其与早期神经功能恶化的关系[J].卒中与神经疾病,2020,27(5):580-584.

(2021-11-21收稿)

(本文编校:张迪,崔月婷)